

# СОДЕРЖАНИЕ

Условные сокращения . . . . .	5
Предисловие к серии . . . . .	6
Введение . . . . .	7
1. Классификации, применяемые при опухолевых новообразованиях и опухолеподобных поражениях желудочно-кишечного тракта . . . . .	9
1.1. Классификации, применяемые при всех опухолевых новообразованиях и опухолеподобных поражениях ЖКТ . . . . .	9
1.2. Классификация ВОЗ опухолей ЖКТ . . . . .	16
1.3. Классификации, применяемые при опухолевых новообразованиях и опухолеподобных поражениях пищевода . . . . .	29
1.4. Классификации, применяемые при опухолевых новообразованиях и опухолеподобных поражениях желудка . . . . .	61
1.4.1. Классификации рака желудка . . . . .	61
1.4.2. Классификации железистого и сосудистого рисунка слизистой оболочки желудка . . . . .	73
1.4.3. Классификация рака проксимального отдела желудка . . . . .	82
1.5. Классификации, применяемые при опухолевых новообразованиях и опухолеподобных поражениях тонкой кишки . . . . .	84
1.6. Классификации, применяемые при опухолевых новообразованиях и опухолеподобных поражениях толстой кишки, ректосигмоидного соединения, прямой кишки и аппендициса	90
1.6.1. Классификации рака толстой кишки, ректосигмоидного соединения, прямой кишки и анального канала .	91
1.6.2. Классификация полипов толстой кишки . . . . .	100
1.6.3. Классификация опухолей аппендициса . . . . .	120
1.7. Классификации гастроинтестинальных стромальных опухолей ЖКТ . . . . .	122
1.8. Классификации нейроэндокринных опухолей ЖКТ . . . . .	126
2. Классификации, применяемые при воспалительных и эрозивно-язвенных заболеваниях ЖКТ . . . . .	136
2.1. Классификации, применяемые при воспалительных и эрозивно-язвенных заболеваниях пищевода . . . . .	136
2.2. Классификации, применяемые при воспалительных и язвенных заболеваниях желудка и двенадцатиперстной кишки . .	157
2.3. Классификации, применяемые при воспалительных и язвенных заболеваниях толстой кишки . . . . .	175

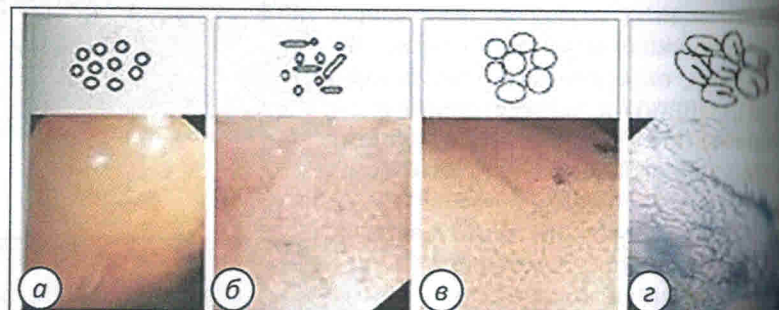
3. Классификации, применяемые при сосудистых поражениях и кровотечениях ЖКТ . . . . .	18
3.1. Классификации варикозного расширения вен пищевода и желудка . . . . .	18
3.2. Классификация эндоскопических признаков (стигмат) кровотечения из ЖКТ . . . . .	19
3.3. Классификации геморроя . . . . .	19
4. Классификации других болезней ЖКТ (грыжи, дивертикулы, повреждения) . . . . .	20
5. Классификации аномалий развития органов желудочно-кишечного тракта . . . . .	22
5.1. Аномалии развития пищевода . . . . .	22
5.2. Аномалии развития желудка . . . . .	22
5.3. Аномалии развития двенадцатиперстной кишки . . . . .	22
5.4. Аномалии развития тощей и подвздошной кишки . . . . .	22
5.5. Аномалии развития толстой кишки . . . . .	22
5.6. Аномалии развития прямой кишки и анального отверстия . . . . .	22
5.7. Нарушения поворота кишечника . . . . .	22
6. Классификации, применяемые для оценки подготовки толстой кишки . . . . .	23
7. Номенклатура медицинских услуг (по специальности «Эндоскопия») . . . . .	24
<b>Библиографический список . . . . .</b>	<b>25</b>

## **Классификация типов рисунка поверхности слизистой оболочки желудка в соответствии с гистологическим строением (Dinis-Ribeiro M. [et al.], 2003)**

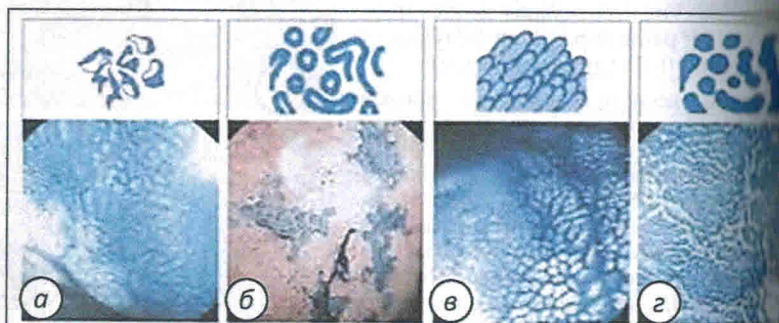
Классификация применяется при эндоскопии с увеличением и хромоскопии с 0,2 % раствором метиленового синего, обнажающегося эпителием кишечного типа и опухолей:

тип I (отсутствие метаплазии и дисплазии эпителия) – эпителий не окрашен, рисунок регулярный, ямки желез: округлые – тип IA (рис. 31, а); округлые и удлиненные (трубчатые) – IB (рис. 31, б), округлые, крупные – тип IC (рис. 31, в); округлые, неровные – тип ID (рис. 31, г);

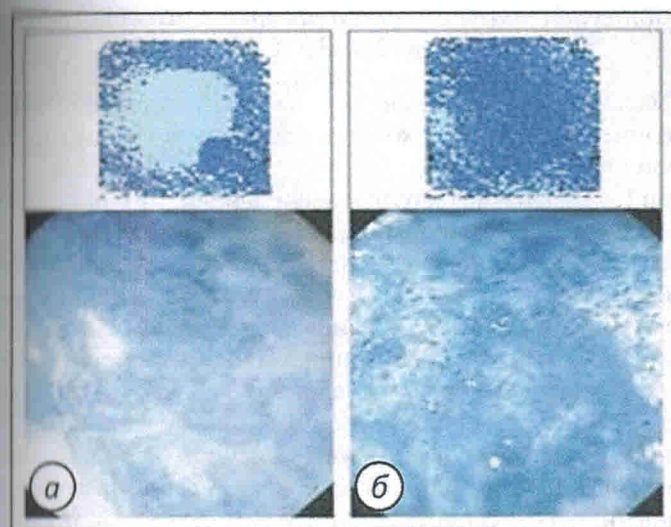
тип II (кишечная метаплазия эпителия желудка) – эпителий окрашен, рисунок регулярный; ямки желез: нерегулярные – ПА (рис. 32, а), круглые и тубулярные – ПВ (рис. 32, б); воронко-



*Рис. 31. Рисунок поверхности СО, тип I по классификации M. Dinis-Ribeiro (пояснение в тексте) (Dinis-Ribeiro M. [et al.], 2003)*



*Рис. 32. Рисунок поверхности СО, тип II по классификации M. Dinis-Ribeiro (пояснение в тексте) (Dinis-Ribeiro M. [et al.], 2003)*



*Рис. 33. Рисунок поверхности СО, тип III по классификации M. Dinis-Ribeiro (пояснение в тексте) (Dinis-Ribeiro M. [et al.], 2003)*

ные (виллезные) – тип ПС (рис. 32, в); круглые, маленькие – тип ПД (рис. 32, г);

тип III (дисплазия эпителия) – эпителий окрашен неоднородно, рисунок нерегулярный; потеря рисунка при депрессивных поражениях – тип ПА (рис. 33, а), отсутствие рисунка или приподнятое выражение – тип ПВ (рис. 33, б).

## **Классификация сосудистого рисунка и рисунка поверхности слизистой оболочки желудка (Pimentel-Nunes P. [et al.], 2012)**

Классификация разработана по данным узкоспектральной эндоскопии с увеличением:

тип А (нормальная СО) – регулярный сосудистый рисунок и регулярный округлый тип рисунка слизистой оболочки;

тип В (кишечная метаплазия желудочного эпителия) – регулярный сосудистый рисунок и регулярный тубулярный/виллезный тип рисунка слизистой оболочки;

тип С (дисплазия) – нерегулярный сосудистый рисунок и нерегулярный рисунок слизистой оболочки.

Источник: Pimentel-Nunes P. [et al.], 2012.

### *Классификация ямочного рисунка слизистой оболочки желудка (Tanaka K. [et al.], 2006)*

Классификация разработана при использовании эндоскопии с увеличением и хромоскопии с растворами индигокармин и уксусной кислоты (рис. 34):

- тип I – маленькие округлые ямки одинакового размера и формы;
- тип II – щелевидные ямки (выступающие аденомы);
- тип III – ямки эпителия извилистой, мозговидной формы (внешняя метаплазия, выступающие аденомы, карциномы выступающего типа, дифференцированные карциномы);
- тип IV – нерегулярное расположение и размер ямок типов I, II или III (углубленные формы аденом, карциномы выступающего и углубленного типов, дифференцированные карциномы);
- тип V – разрушенный ямочный рисунок (карциномы углубленного типа; дифференцированные карциномы; низкодифференцированный, перстневидноклеточный рак).

### *Классификация для выступающих форм эпителиальных новообразований желудка (Nonaka K. [et al.], 2011)*

Классификация основана на строении рисунка поверхности и сосудистого рисунка (рис. 35):

- 1-й тип – отчетливый ямочный и неотчетливый сосудистый рисунок;
- 2-й тип – отчетливый ямочный и отчетливый сосудистый рисунок;
- 3-й тип – отчетливый ямочный и атипичный сосудистый рисунок;
- 4-й тип – немного неотчетливый ямочный и атипичный сосудистый рисунок;
- 5-й тип – выраженно неотчетливый ямочный и атипичный сосудистый рисунок.

1 и 2-й типы чаще встречаются при аденомах желудка, 3 и 5-й типы в большинстве случаев соответствуют высокодифференцированной аденокарциноме.



Рис. 34. Классификация ямочного рисунка желез эпителия желудка K. Tanaka:  
а – тип I (поверхность слизистой оболочки разделена бороздками на отдельные элементы (стрелки); б – тип II; в – тип III; г, д, е – тип IV (нерегулярное расположение и размер типов I, II и III) (поверхность типа IV не разделяется канавками на отдельные сегменты, раковая и непораженная слизистая оболочка отделена линией демаркации (стрелки, д, е)); ж – тип V (раковая и непораженная слизистая оболочка отделена демаркационной линией – стрелки) (Tanaka K. [et al.], 2006)

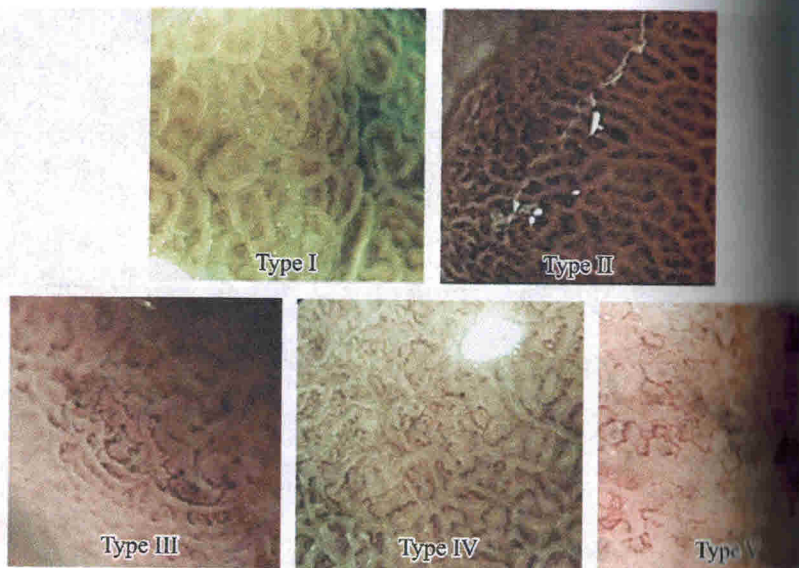


Рис. 35. Классификация K. Nonaka (пояснение в тексте)  
(Nonaka K. [et al.], 2011)

#### 1.4.3. Классификация рака проксимального отдела желудка

Рак проксимального отдела желудка с переходом на пищевод (кардиоэзофагеальный рак) имеет своеобразное клиническое течение и биологические свойства.

При вовлечении в опухолевый процесс зоны ПЖП адено карциному, центр которой расположен на 2–5 см выше анатомической границы ПЖП (III тип по Siewert), классифицируют и лечат как рак пищевода. Если центр адено карциномы, вовлекающей зону ПЖП, расположена на уровне зубчатой линии, т. е. в пределах 2 см ниже и 1 см выше анатомической границы ПЖП (II тип по Siewert) или в нижней трети пищевода выше анатомической границы ПЖП в пределах 1–2 см (I тип по Siewert), процесс классифицируют и лечат как рак пищевода.

Тактика лечения локализованных форм адено карциномы кардиоэзофагеального перехода I и II типов по Siewert аналогична тактике лечения рака пищевода, лечение диссеминированных и метастатических форм аналогично лечению диссеминированного рака пищевода.

Источник: Рак желудка, 2020.

#### Классификация адено карциномы зоны ПЖП (Siewert J., 1996)

Данная классификация объединяет рак дистальной трети пищевода, рак проксимального отдела желудка с переходом на пищевод (кардиоэзофагеальный рак) и рак субкардии.

Основным критерием классификации J. Siewert является определение локализации эпицентра опухоли относительно ПЖП и анатомической зоны кардии (рис. 36). Анатомический центр опухоли диагностируется на основании рентгеноконтрастного исследования, гастроскопии и данных, полученных при интраоперационном исследовании. С учетом локализации центра новообразования выделено три типа опухоли.

Тип I – адено карцинома дистального отдела пищевода, эпизентр которой на 1–5 см выше зоны ПЖП (Z-линии) с возможностью распространения через последнюю в сторону желудка. Этот тип составляет около 80 % случаев кардиоэзофагеального рака, развиваются из метаплазированного эпителия пищевода (пищевод Барретта) и в основном соответствует «интестинальной» форме опухоли по классификации Lauren. При этом типе удельный вес опухолей с прорастанием серозной оболочки относительно невелик.

Тип II – представлен истинной адено карциномой зоны ПЖП (кардиоэзофагеальный рак кардии); эпизентр ее расположен в пределах зоны проксимальнее (орально) зоны дистальнее (аборально) Z-линии. Этот тип рака развивается из эпителия кардиального отдела желудка, значительно реже – из метаплазированного индуктивного эпителия пищевода. Частота ПБ при II типе составляет около 10 %. Преобладает диффузная форма опухоли по классификации Lauren. Удельный вес опухолей с инвазией серозной оболочки наиболее низок.

Тип III – наиболее неблагоприятный в прогностическом

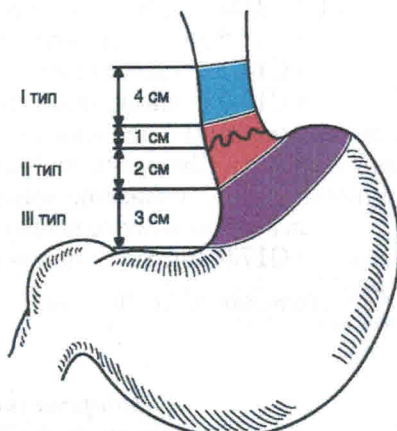


Рис. 36. Классификация адено карциномы кардиоэзофагеального перехода по J. Siewert

## Классификация подтипов LST в соответствии с определением Киотской рабочей группы

В соответствии с определением Киотской рабочей группы, основанным на предыдущих работах S. Kudo [et al.], латерально распространяющиеся опухоли (laterally spreading tumors) были классифицированы на следующие подтипы: латерально распространяющаяся опухоль гранулярного гомогенного типа (granular homogenous type [LST-G-H]) — эпителиальная опухоль с преимущественно латеральным ростом и гомогенной гранулярной поверхностью; латерально распространяющаяся опухоль гранулярно-нодулярного смешанного типа (LST granular nodular mixed type [LST-G-M]) с одним или более узелками; негранулярная латерально распространяющаяся опухоль плоско-возвышенного типа (LST nongranular flat elevated type [LST-NG-F]) — плоская опухоль без гранул; и негранулярная латерально распространяющаяся опухоль псевдодепрессивного типа (LST pseudodepressed nongranular types [LST-NG-PD]) с наличием участка углубления без четких границ, называемого псевдодепрессией (рис. 42). Эти подти-

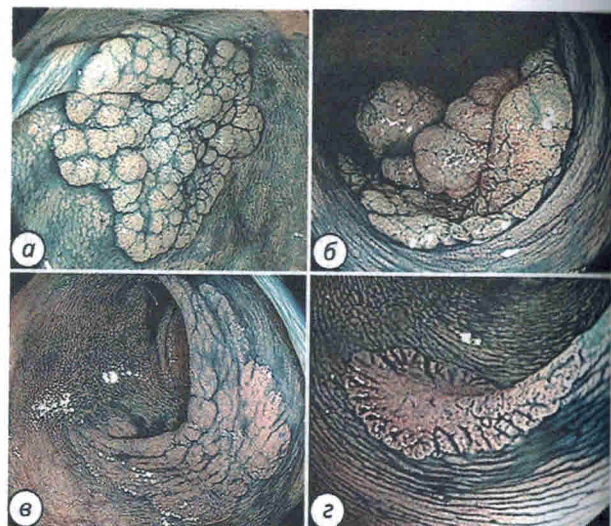


Рис. 42. Подтипы латерально распространяющейся опухоли (LST): а — LST-G-H (гранулярный гомогенный тип); б — LST-G-M (нодулярно-гранулярный смешанный тип); в — LST-NG-F (негранулярный плоско-возвышенный тип); г — LST-NG-PD (негранулярный тип с псевдодепрессией)

Источник: Ishigaki T. [et al.], 2020.

соответствуют типам опухоли Парижской классификации 0-IIa; 0-IIb+IIa или 0-Ia+IIa; 0-IIa и 0-IIa+IIc или 0-IIc+IIa соответственно.

## Классификация сосудистого рисунка при осмотре в режиме NBI для ранних колоректальных поражений (Sano Y., 2006)

Классификация Y. Sano — Sano's capillary pattern (CP) classification. В нормальной слизистой оболочке или на поверхностных гиперпластических поражениях отверстия крипт окружает четко ограниченные капилляры, организованные в виде рисунка сот вокруг крипты без каких-либо изменений диаметра сосудов. Капилляры гиперпластических поражений становятся удлиненными с большим перипериодным диаметром. В процессе изменения от предракового к раковому поражению увеличивается как число, так и плотность капилляров, отсутствует симметрия в направлении хода капилляров. Различия капиллярного рисунка (capillary pattern) в поверхностных поражениях CO особенно заметны при использовании NBI. Патологические микрокапилляры — индикатор неизмененности. Капиллярные петли, упорядоченные в сетчатый рисунок вокруг слизистых крипт, Y. Sano [et al.] назвали mashed capillary vessels (MCVs), дословно — масса капиллярных сосудов (сетчатые капиллярные сосуды), и соотнесли микроваскулярную архитектонику с CP-классификацией.

• CP тип I («нечеткий» (faint)) — регулярный капиллярный рисунок, окружающий ямки эпителия по типу пчелиных сот. MCVs не видны или видны слабо при увеличительной колоноскопии с использованием NBI, так как обычное разрешение не позволяет распознать сосудистую сеть нормальной слизистой оболочки. Хотя плотность микрососудов в маленьких гиперпластических полипах выше, чем в нормальной CO, диаметр MCVs отличается несущественно. Капиллярные сосудистые сети иногда определяются в части гиперпластических полипов, включая большие гиперпластические полипы и гиперпластические полипы с зубчатыми изменениями.

• CP тип II («сетевидный» (network)) — четко видимая микрососудистая сеть на поверхности образования, формирующая округлые, овальные или по типу пчелиных сот ячейки. Аденоматозные поражения независимо от макроскопического типа выглядят как ярко-коричневые неоваскулярные поражения (коричневатые пятна), легко идентифицируются при использовании NBI без увеличения. MCVs четко видны, капилляры удлинены и имеют ненормально большой диаметр.

• СР тип III («плотный» (dense)) – нерегулярная четко видимая микрососудистая сеть на поверхности образования. Капиллярный сосудистый рисунок определяется как нерегулярный нестрогий рисунок в петлеподобной микроваскулярной архитектонике и имеет не менее одной из следующих характеристик: нерегулярный размер, сложное (запутанное) ветвление и/или разрушение нерегулярные изгибы в отличие от капилляров малого калибра наблюдавшихся в аденоатомозных полипах (СР тип II).

• СР тип IIIА («неоднородный» (irregular)). Капиллярный рисунок имеет четкую видимую микроваскулярную архитектонику и высокую микроваскулярную плотность, микрососуды характеризуются отсутствием единобразия, ветвлением, разорванностью, беспорядочностью и слепыми концами.

• СР тип IIIВ («скучный» (sparse)). Четко видна демаркационная граница между нормальной и «раковой» слизистой оболочки. Имеются аваскулярные зоны или зоны с частичной утратой микроваскулярного рисунка.

#### Классификация сосудистого рисунка Y. Sano

Параметр	I	II	IIIА	IIIВ
Схематичное изображение				
Эндоскопические данные				
	MCVs (–)	<ul style="list-style-type: none"> <li>▪ MCVs (+)</li> <li>▪ Капиллярные сосуды окружают железы слизистой оболочки</li> </ul>	<p>Капиллярные сосудистые сети ветвятся, заканчиваются слепыми нерегулярными, извитыми</p> <ul style="list-style-type: none"> <li>▪ Отсутствие единобразия</li> <li>▪ Высокая плотность капиллярных сосудов</li> </ul>	<ul style="list-style-type: none"> <li>▪ Частичная утрата микрососудистого компонента либо аваскулярные зоны</li> </ul>

Параметр	I	II	IIIА	IIIВ
Клиническая картина	Норма Гиперпластический полип		Аденома M* SM1**	SM2-3***
Лечение	Не требует лечения		Эндоскопическое лечение (полипэктомия или EMR)	Хирургическое лечение

\* М – внутрислизистый рак.

\*\* SM1 – поверхностная инвазия (менее 1000 мкм).

\*\*\* SM2-3 – глубокий подслизистый инвазивный рак (более 1000 мкм).

Источники: Sano Y. [et al.], 2006; Sano Y. [et al.], 2009; Uraoka T. [et al.], 2011.

#### Классификация сосудистого и поверхностного рисунка при осмотре в режиме NBI для ранних колоректальных поражений (Hiroshima, 2008)

Классификация Hiroshima University основана на оценке поверхностного рисунка (структур pit-like, дословно ямоподобных структур (рис. 43)) и рисунка архитектоники микрососудов. Все изображения подразделяются на три типа (рис. 44).

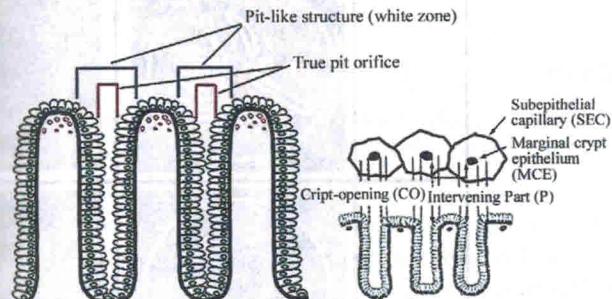


Рис. 43. Схематичное изображение pit-like-структур. Ямоподобные структуры (или белая зона) содержат открытые крипты (cript opening) и краевой эпителий крипты (marginal crypt epithelium (MCE)). При осмотре в узком спектре колоректальных опухолей, имеющих вид полипов и сложное ветвление сосудов, трудно выбрать направление светового пучка, перпендикулярное ямкам. Следовательно, затруднено выявление ямок по признаку более темных структур. Структуры, содержащие открытые крипты и краевой эпителий крипты, выглядят белыми и чаще всего образуют ямоподобные структуры

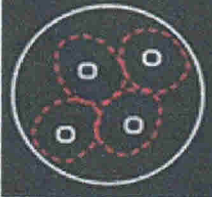
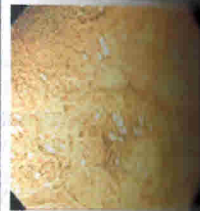
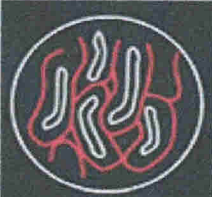
А тип			
			
С тип	1		
	2		
	3		

Рис. 44. Классификация Hiroshima в схемах и эндофотографии (Sano Y. [et al.], 2016)

Тип А. Pit-like-структуры представлены в виде коричневых или черных точек звездчатой или округлой формы, окруженных белым ободком. Микрососудистый рисунок нечеткий или отсутствует. Вокруг поражения сосуды отсутствуют или наблюдаются мелкие извитые сосуды. Тип А характерен для нормы или гиперпластических полипов.

Тип В. Четкий регулярный рисунок поверхности с регулярной архитектоникой микрососудистой сети, которая хорошо видна и представлена небольшим количеством микросудов вокруг ямок, иногда – обильная микрососудистая сеть. Наблюдается при нормах или внутрислизистых карциномах.

Тип С. Неправильный рисунок поверхности без определенной структуры, подразделяется на три подтипа:

1. Рисунок поверхности слизистой оболочки плохо различим, микрососудистый рисунок нерегулярный. Диаметр и расположение сосудов однородны.

2. Рисунок поверхности СО нерегулярный из-за увеличенного количества микросудов вокруг ямок. Диаметр микросудов различен, рисунок микрососудистой сети нерегулярный.

3. Рисунок поверхности СО не определяется. Микросуды исчезнули, расположение их неравномерно, имеются аваскулярные зоны.

Источники: Tanaka S. [et al.], 2008; Kanao H. [et al.], 2009; Oba S. [et al.], 2010; Tanaka S., Sano Y., 2011.

#### Классификация сосудистого рисунка при колоректальных поражениях (Showa University Northern Yokohama Hospital (Showa classification), 2009)

Сосудистый рисунок по данной классификации подразделяется на шесть групп в зависимости от эндоскопической картины: нормальный, нечеткий, сетчатый, плотный, нерегулярный и редкий (редкосвязанный). Для большинства гиперпластических полипов характерен нечеткий рисунок. Сосудистый рисунок аденона в основном сетчатый или плотный. Преобладающий сосудистый рисунок является нерегулярный и редкий. Нерегулярный рисунок характерен для возышающегося или плоскоуглубленного рака, редкий рисунок – для углубленного рака (рис. 45).

Источники: Wada Y. [et al.], 2009; Sano Y. [et al.], 2016.

#### **4. КЛАССИФИКАЦИЯ ДРУГИХ БОЛЕЗНЕЙ ЖКТ (ГРЫЖИ, ДИВЕРТИКУЛЫ, ПОВРЕЖДЕНИЯ, ИНОРОДНЫЕ ТЕЛА)**

##### **Классификация прочих болезней ЖКТ по МКБ-10**

###### **K22 Другие болезни пищевода.**

- K22.0 Ахалазия кардиальной части.

Ахалазия БДУ/ Кардиоспазм. Исключен: врожденный кардиоспазм (Q40.2).

- K22.2 Непроходимость пищевода.

Компрессия/Сужение/Стеноз пищевода/Стриктура. Исключен: врожденный(ая) стеноз или стриктура пищевода (Q39.3).

• K22.3 Прободение пищевода. Разрыв пищевода. Исключен: травматическое прободение (торакальной части) пищевода (N31).

- K22.4 Дискинезия пищевода.

«Штопорообразный» пищевод/Диффузный спазм пищевода. Исключен: кардиоспазм (K22.0).

- K22.5 Дивертикул пищевода приобретенный.

Исключен: врожденный дивертикул пищевода (Q39.6).

• K22.6 Желудочно-пищеводный разрывно-геморрагический синдром (синдром Маллори – Вейсса).

- K22.9 Болезнь пищевода неуточненная.

###### **K31 Другие болезни пищевода и двенадцатиперстной кишки**

- K31.0 Острое расширение желудка.

- K31.1 Гипертрофический пилоростеноз у взрослых.

Пилоростеноз БДУ. Исключены: врожденный или детский пилоростеноз (Q40.0).

- K31.2 Стриктура в виде песочных часов и стеноз желудка.

Исключены: желудок в виде песочных часов врожденный (Q40.2), сужение желудка в виде песочных часов (K31.8).

• K31.3 Пилороспазм, не классифицированный в других разделах.

Исключены: пилороспазм: врожденный или младенческий (Q40.0), невротический (F45.3), психогенный (F45.3).

- K31.4 Дивертикул желудка.

Исключен: врожденный дивертикул желудка (Q40.2).

- K31.5 Непроходимость двенадцатиперстной кишки.

Сжатие/Стеноз/Сужение/Непроходимость двенадцатиперстной кишки хроническая. Исключен: врожденный стеноз двенадцатиперстной кишки (Q41.0).

- K31.6 Свищ желудка и двенадцатиперстной кишки.

Желудочно-ободочнокишечный свищ/Желудочно-тощекишечно-ободочнокишечный свищ.

- K31.8 Другие уточненные болезни желудка и двенадцатиперстной кишки.

Ахлоргидрия. Гастроптоз. Сужение желудка в виде песочных часов.

- K31.9 Болезнь желудка и двенадцатиперстной кишки неуточненная.

###### **K44 Диафрагмальная грыжа.**

Включены: грыжа отверстия диафрагмы (пищеводного) (скользящая), околопищеводная грыжа. Исключены: врожденная грыжа диафрагмальная (Q79.0), пищеводного отверстия диафрагмы (Q40.1).

- K44.0 Диафрагмальная грыжа с непроходимостью без гангрены.

Диафрагмальная грыжа: вызывающая непроходимость/ущемленная/невправимая/без гангрены/странгуляционная.

- K44.1 Диафрагмальная грыжа с гангреной.

- K44.9 Диафрагмальная грыжа без непроходимости или гангрены.

###### **К55 Сосудистые болезни кишечника.**

###### **K56 Паралитический илеус и непроходимость кишечника без грыжи.**

• K56.0 Паралитический илеус (паралич: кишечника, ободочной кишки, тонкой кишки). Исключены: илеус, вызванный желчным камнем (K56.3), илеус БДУ (K56.7), обструктивный илеус БДУ (K56.6).

• K56.1 Инвагинация (внедрение петли кишечника, или инвагинация: кишечника, ободочной кишки, тонкой кишки, прямой кишки). Исключена: инвагинация аппендикса (K38.8)).

• K56.2 Заворот кишок (странгуляция ободочной или тонкой кишки. Перекручивание ободочной или тонкой кишки. Узлообразование ободочной или тонкой кишки).

• K56.3 Илеус, вызванный желчным камнем (закупорка тонкой кишки желчным камнем).

• K56.4 Другие виды закрытия просвета кишечника (кишечный камень). Закрытие просвета: ободочной кишки; каловое).

• K56.5 Кишечные сращения (спайки) с непроходимостью.

• K56.6 Другая и неуточненная кишечная непроходимость (эндоростеноз). Обструктивный илеус БДУ. Закупорка ободочной или

тонкой кишки. Стеноз ободочной или тонкой кишки. Сужение ободочной или тонкой кишки).

- K56.7 Илеус неуточненный.

#### K57 Дивертикулярная болезнь кишечника.

• K57.0 Дивертикулярная болезнь тонкой кишки с прободением и абсцессом (дивертикулярная болезнь тонкой кишки с перитонитом). Исключена: дивертикулярная болезнь тонкой и толстой кишки с прободением и абсцессом (K57.4).

• K57.1 Дивертикулярная болезнь тонкой кишки без прободения и абсцесса (дивертикулярная болезнь тонкой кишки БДУ). Исключена: дивертикулярная болезнь и тонкой и толстой кишки с прободением и абсцессом (K57.5)).

• K57.2 Дивертикулярная болезнь толстой кишки с прободением и абсцессом (дивертикулярная болезнь ободочной кишки БДУ). Исключена: дивертикулярная болезнь и тонкой и толстой кишки с прободением и абсцессом (K57.4)).

• K57.3 Дивертикулярная болезнь толстой кишки без прободения и абсцесса (дивертикулярная болезнь ободочной кишки БДУ). Исключена: дивертикулярная болезнь и тонкой и толстой кишки без прободения или абсцесса (K57.5)).

• K57.4 Дивертикулярная болезнь и тонкой и толстой кишки с прободением и абсцессом (дивертикулярная болезнь и тонкой и толстой кишки с перитонитом).

• K57.5 Дивертикулярная болезнь и тонкой и толстой кишки без прободения или абсцесса (дивертикулярная болезнь и тонкой и толстой кишки БДУ).

• K57.8 Дивертикулярная болезнь кишечника неуточненной части с прободением и абсцессом (дивертикулярная болезнь кишечника БДУ с перитонитом).

• K57.9 Дивертикулярная болезнь кишечника, неуточненная части без прободения и абсцесса (дивертикулярная болезнь кишечника БДУ).

#### K58 Синдром раздраженного кишечника.

- K58.0 Синдром раздраженного кишечника с диареей.
- K58.9 Синдром раздраженного кишечника без диареи.

#### K59 Другие функциональные кишечные нарушения.

- K59.0 Запор.
- K59.1 Функциональная диарея.
- K59.2 Неврогенная возбудимость кишечника, не классифицированная в других рубриках.

• K59.3 Мегаколон, не классифицированный в других рубриках (расширение ободочной кишки). Токсический мегаколон. При необходимости идентифицировать токсичный агент используют дополнительный код внешних причин (класс XX). Исключены: мегаколон (при): болезни Шагаса (B57.3), вызванный *Clostridium difficile* (A04.7), врожденный (аганглионарный) (Q43.1), болезни Грипунга (Q43.1)).

• K59.4 Спазм анального сфинктера (проктальгия преходящая).

• K59.8 Другие уточненные функциональные кишечные нарушения (атония ободочной кишки).

• K59.9 Функциональное нарушение кишечника неуточненное.

#### K60 Трецина и свищ области заднего прохода и прямой кишки.

• K60.0 Острая трещина заднего прохода.

• K60.1 Хроническая трещина заднего прохода.

• K60.2 Трещина заднего прохода неуточненная.

• K60.3 Свищ заднего прохода.

• K60.4 Прямокишечный свищ (кожный (полный) свищ прямой кишки). Исключены: свищ: ректовагинальный (N82.3), мочепузырно-прямокишечный (N32.1)).

• K60.5 Аноректальный свищ (свищ между прямой кишкой и задним проходом).

#### K61 Абсцесс области заднего прохода и прямой кишки.

• K61.0 Анальный (заднепроходный) абсцесс (перианальный абсцесс). Исключен: интрасфинктерный абсцесс (K61.4)).

• K61.1 Ректальный абсцесс (периректальный абсцесс). Исключен: ишиоректальный абсцесс (K61.3)).

• K61.2 Аноректальный абсцесс.

• K61.3 Ишиоректальный абсцесс (абсцесс ишиоректальной ямки).

• K61.4 Интрасфинктерный абсцесс.

#### K62 Другие болезни заднего прохода и прямой кишки.

• K62.0 Полип анального канала.

• K62.1 Полип прямой кишки (исключен: аденоидозный полип (D12.8)).

• K62.2 Выпадение заднего прохода.

• K62.3 Выпадение прямой кишки (выпадение слизистой оболочки прямой кишки).

• K62.4 Стеноз заднего прохода и прямой кишки (стриктура заднего прохода (сфинктера)).

• K62.5 Кровотечение из заднего прохода и прямой кишки (исключено: кровотечение из прямой кишки у новорожденного (P54.2)).

- K62.6 Язва заднего прохода и прямой кишки (язва; опухоль, каловая). Исключены: трещина и свищ заднего прохода и прямой кишки (K60.-) при язвенном колите (K51.-).
- K62.7 Радиационный проктит.
- K62.8 Другие уточненные болезни заднего прохода и прямой кишки (проктит БДУ).
- K62.9 Болезнь заднего прохода и прямой кишки неуточненная.

### K63 Другие болезни кишечника.

- K63.0 Абсцесс кишечника (исключены: абсцесс: области заднего прохода и прямой кишки (K61.-), аппендикса (K35.3), с дивертикулярной болезнью (K57.-)).
- K63.1 Прободение кишечника (нетравматическое) (исключено: прободение (нетравматическое): аппендициса (K35.2, K35.3), двенадцатиперстной кишки (K26.-), с дивертикулярной болезнью (K57.-)).
- K63.2 Кишечный свищ (исключены: свищ: области заднего прохода и прямой кишки (K60.-), аппендициса (K38.3), двенадцатиперстной кишки (K31.6), кишечно-генитальный у женщин (N82.2—N82.4), пузирно-кишечный (N32.1)).
- K63.3 Язва кишечника (первичная язва тонкой кишки) (исключены: язва: области заднего прохода и прямой кишки (K60.-), двенадцатиперстной кишки (K26.-), желудочно-кишечная (K28.1), гастроэзоанальная (K28.-), юношеская (K28.-), пептическая неуточненной локализации (K27.-), язвенный колит (K51.-)).
- K63.4 Энтероптоз.
- K63.5 Полип толстой кишки (исключены: аденоматозный полип толстой кишки (D12.6), полипоз толстой кишки (D12.6)).
- K63.8 Другие уточненные болезни кишечника.
- K63.9 Болезнь кишечника неуточненная.

### T18 Инородное тело в пищеварительном тракте.

- T18.0 Инородное тело во рту.
- T18.1 Инородное тело в пищеводе.
- T18.2 Инородное тело в желудке.
- T18.3 Инородное тело в тонком кишечнике.
- T18.4 Инородное тело в ободочной кишке.
- T18.5 Инородное тело в заднем проходе и прямой кишке.
- T18.8 Инородное тело в другом или нескольких отделах пищеварительного тракта.
- T18.9 Инородное тело в неуточненной части пищеварительного тракта.

Источник: МКБ-10, 1990.

### Классификация ГПОД (Петровский Б. В., Каншин Н. И., 1966)

Различают следующие типы грыж пищеводного отверстия диафрагмы (ГПОД).

1. Грыжи пищеводного отверстия диафрагмы скользящего (акционного) типа (рис. 61):

- пищеводная;
- кардиальная;
- кардиофундальная;
- субтотальная желудочная;
- тотальная желудочная.

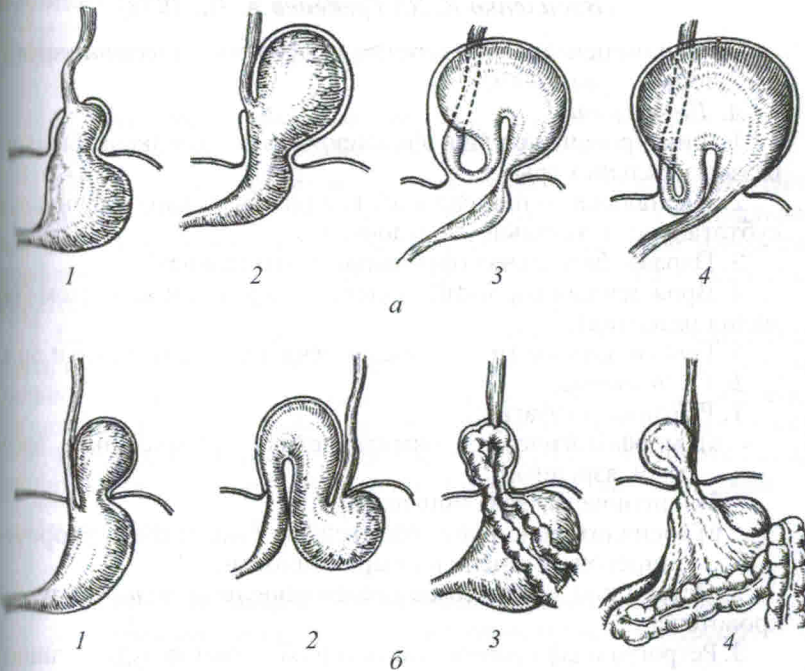


Рис. 61. Схема различных грыж пищеводного отверстия диафрагмы по Б. В. Петровскому, Н. И. Каншину:

скользящие грыжи: 1 — кардиальная, 2 — кардиофундальная, 3 — субтотальная желудочная, 4 — тотальная желудочная;  
паразофагеальные грыжи: 1 — фундальная, 2 — антракальная, 3 — кишечная, 4 — сальниковая